

VYUŽITÍ MATLABU V OPTICKÉ DIAGNOSTICE PROUDÍCÍHO PLYNU

J. Blažek, P. Kříž, V. Stach

Pedagogická fakulta JU v Českých Budějovicích, Jeronýmova 10, 371 15 České Budějovice

1) Matematická formulace problému zpracování interferogramů

Ke zviditelnění nehomogenit v plynu či ve slabě ionizovaném plazmatu lze využít některou z metod vizualizace transparentních prostředí [1]. Metodou vhodnou i pro kvantitativní analýzu je holografická interferometrie [2], jež je založená na interferenci dvou koherentních elektromagnetických vln: vlny procházející studovaným objektem a referenční vlny rekonstruované z hologramu, která odpovídá původnímu, téměř homogennímu stavu.

K vytváření interferogramů využíváme interferometr Machova-Zehnderova typu [3]. Ten může být seřízen ve dvou modifikacích. Seřízení na nekonečnou šířku proužku se vyznačuje rovnoběžností objektového a referenčního svazku. Při druhé modifikaci, tzv. seřízení na konečnou šířku proužku, je referenční svazek zrcadlem odkloněn o malý úhel, což vede k vytvoření charakteristické soustavy rovnoběžných proužků, jež jsou díky nehomogenitám prostředí deformovány.

Předpokládáme, že osa x je orientována ve směru paprsku procházejícího zkoumaným prostředím a rovina proměnných (y, z) je rovnoběžná s interferogramem. Vzniklá interferenční struktura se pak popisuje rovnicí

$$g(y, z) = a(y, z) + b(y, z) \cdot \cos \varphi(y, z), \quad (1)$$

v níž g je intenzita osvětlení interferogramu v daném místě o souřadnicích (y, z) . V ideálním případě jsou veličiny a , b konstantní, ve skutečnosti však vykazují fluktuace, způsobené nedokonalým osvětlením při expozici hologramu. Nositelům informace o vnitřních poměrech v plynu je fázové posunutí φ mezi referenčním a objektovým paprskem. To lze rozdělit na část lineární φ_{lin} , způsobenou odklonem referenčního svazku, a část φ_{gas} , způsobenou nehomogenitami prostředí. Předpokládáme-li odklon referenční vlny v rovině (y, z) , pak lineární část fázového posunutí je (až na fyzikálně nevýznamnou konstantu)

$$\varphi_{\text{lin}} = 2\pi f_0 z, \quad (2)$$

kde prostorová frekvence f_0 je určena úhlem odklonu referenčního svazku. Fázové posunutí prostředí je dáno integrální formulí

$$\varphi_{\text{gas}}(y, z) = \frac{2\pi}{\lambda} \cdot \int_{x_1}^{x_2} [n(x, y, z) - n_0] dx. \quad (3)$$

Zde λ je vlnová délka použitého světla, n je index lomu vyšetřovaného prostředí, n_0 je index lomu původního homogenního stavu při kterém byl exponován hologram, a x_1, x_2 jsou x -ové souřadnice vstupu paprsku do objektu a výstupu z něj.

Index lomu plynu závisí na jeho hustotě. Konkrétně pro zředěný plyn s indexem lomu blízkým jedničce lze použít Gladstonovy–Daleovy aproximativní formule [1]

$$n = 1 + (n_0 - 1) \cdot \frac{\rho}{\rho_0}, \quad (4)$$

kde ρ a ρ_0 jsou hustoty vyšetřovaného a původního prostředí.

Při určování vnitřních poměrů v proudícím plynu jsme tak postaveni před dvě nezávislé úlohy: a) stanovení fáze φ_{gas} z funkcionální rovnice (1); b) pro danou fázi φ_{gas} určení indexu lomu n , resp. veličin s ním souvisejících (hustota, teplota, tlak) z integrální rovnice (3). První část řešíme pomocí Takedovy metody Fourierovy transformace, druhou část pro radiálně symetrický případ pomocí Abelovy transformace. Obě metody jsou stručně popsány v následující kapitole.

2) Teoretické řešení problému

Takedova metoda [4] vychází z diskrétní Fourierovy transformace intenzity interferogramu, brané podél úsečky kolmé na interferenční proužky. Připomeňme si proto nejdříve definici této transformace, jak ji najdeme např. v nápovědě k funkci `fft` Matlabu. Nechť na intervalu $(0, L)$ je definována funkce $g(z)$ proměnné z a nechť je dáno N jejích hodnot $g_j \equiv g(z_j)$ na rovnoměrně rozložených uzlech $z_j = j \cdot \frac{L}{N}$, $j = 0, 1, \dots, N-1$. Diskrétní Fourierova transformace $\text{FT}[g] \equiv G$ je definována řadou

$$G(f_k) = \sum_{j=0}^{N-1} g(z_j) \cdot \exp(-i 2\pi f_k z_j), \quad k = 0, 1, \dots, N-1, \quad (5)$$

v níž jsme zavedli frekvenční proměnnou $f_k = k \cdot \frac{1}{L}$. Inverzní Fourierova transformace $\text{IFT}[G] = g$ je pak

$$g(z_j) = \frac{1}{N} \sum_{k=0}^{N-1} G(f_k) \cdot \exp(i 2\pi f_k z_j), \quad j = 0, 1, \dots, N-1. \quad (6)$$

Přímo z definice Fourierovy transformace vyplývají vlastnosti

$$\begin{aligned} \text{FT}[g]^*(f) &= \text{FT}[g^*(-f)], \\ \text{FT}[g \cdot \exp(i 2\pi f_0 z)](f) &= \text{FT}[g](f - f_0). \end{aligned} \quad (7)$$

Hvězdičkou je zde označena operace komplexního sdružení; f_0 je libovolná konstanta, f je frekvenční proměnná.

Jelikož $G_{k \pm N} = G_k$, lze od pouze nezáporných indexů a frekvencí přejít k indexům a frekvencím symetricky rozloženým kolem počátku. Např. pro N liché, $N = 2M + 1$, lze od indexů $k = 0, 1, \dots, N-1$ přejít k indexům $k = -M, \dots, M$. Fourierova transformace s frekvencemi symetricky rozloženými kolem nuly vykazuje příznivější interpolační vlastnosti. V Matlabu tento přechod zajišťuje standardní funkce `fftshift`.

Inverzní Fourierova transformace vrací funkci g periodickou, $g_j = g_{j+N}$. Skutečnost, že původní funkce g obvykle podmínku periodičnosti $g(0) = g(L)$ nesplňuje, vede k nepřesné aproximaci funkce g funkcí $\text{IFT}[G]$ v okolí krajních bodů. Tento nežádoucí okrajový efekt lze částečně potlačit volbou vhodné funkce H („hanning window“), kterou je funkce g nejdříve vynásobena, přičemž výsledná funkce Hg již podmínku periodičnosti splňuje. Obvykle se tato funkce bere ve tvaru

$$H(z) = 1 - \cos \frac{2\pi z}{L} \quad (8)$$

s nulovými krajními hodnotami.

Takedova metoda určení fázového rozdílu vychází z Fourierovy transformace profilu intenzity, vzatého podél úsečky interferogramu, v našem případě orientované ve směru osy z . Pro tento účel přepíšeme funkci g nejdříve do tvaru (proměnnou $y \equiv \text{konst.}$ explicitně nevypisujeme)

$$g(z) = a(z) + c(z) \cdot \exp(i 2\pi f_0 z) + c^*(z) \cdot \exp(-i 2\pi f_0 z), \quad (9)$$

v němž jsme zavedli pomocnou funkci c vztahem

$$c(z) \equiv \frac{1}{2} b(z) \cdot \exp[i\varphi_{\text{gas}}(z)]. \quad (10)$$

Fourierova transformace intenzity (9) s uvážením vlastností (7) dává

$$G(f) = G_0(f) + C(f - f_0) + C^*(f + f_0). \quad (11)$$

Velkými písmeny zde označujeme Fourierovy obrazy příslušných funkcí, f je nezávisle proměnná.

Bude-li prostorová frekvence f_0 proužků podstatně větší než charakteristické frekvence obsažené ve spektrech funkcí g_0 a c , dojde ve spektru G intenzity k vzájemnému oddělení pásů G_0, C a C^* kolem frekvencí $0, f_0$ a $-f_0$ (obr.2). Inverzní Fourierova transformace aplikovaná pouze k pásu $C(f - f_0)$ rekonstruuje funkci c definovanou v (10). Hledaná fáze φ_{gas} je úhlem komplexní veličiny c , a tak

$$\text{tg } \varphi_{\text{gas}} = \frac{\text{Im } c}{\text{Re } c}. \quad (12)$$

V Matlabu je pro tento účel k dispozici funkce `angle`.

Jelikož fáze komplexního čísla je určena až na násobek 2π , objeví se ve funkci $\varphi_{\text{gas}}(y, z)$ skoky o této velikosti. Je tedy ještě třeba tuto funkci vyhladit: nejdříve ve směru osy z (pro daný lineární segment), poté i ve směru y (pro různé segmenty).

Prostorové rozložení indexu lomu je fází plynu určeno jednoznačně v případě válcové (nebo obecněji eliptické) symetrie. Ztotožníme-li osu válcové symetrie s osou z , je pro tento případ $n = n(r, z)$, kde $r \equiv \sqrt{x^2 + y^2}$. Vztah (3) pak představuje integrální Abelovu rovnici

$$u(y) = 2 \cdot \int_{|y|}^R U(r) \frac{r \, dr}{\sqrt{r^2 - y^2}}, \quad (13)$$

v níž

$$u(y) \equiv \varphi_{\text{gas}}(y), \quad U(r) \equiv \frac{2\pi}{\lambda} \cdot [n(r) - n_0]. \quad (14)$$

Parametr z , který je během integrace konstantní, jsme pro větší přehlednost nevypisovali. Jde o integrální rovnici, jejíž řešení je dáno inverzní Abelovou transformací [5]

$$U(r) = -\frac{1}{\pi} \cdot \int_r^R \frac{u'(y) dy}{\sqrt{y^2 - r^2}}. \quad (15)$$

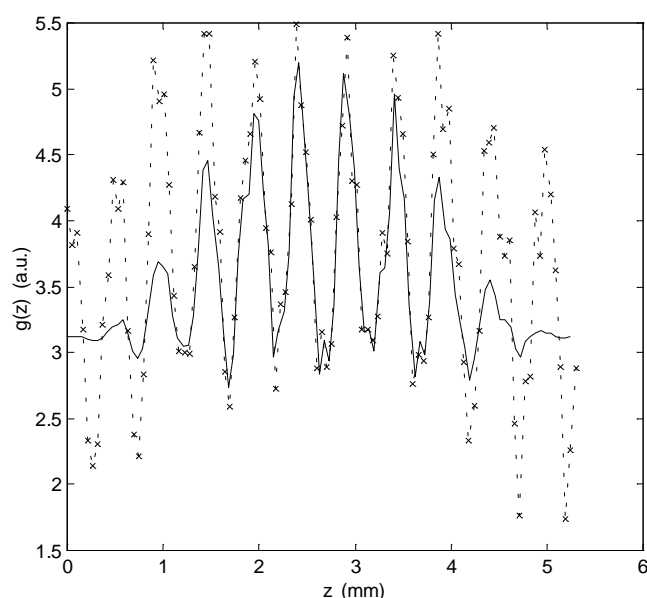
Výpočet integrálu v (15) představuje samostatný numerický problém. Ten spočívá především ve stanovení derivace funkce u , která navíc bývá zatížena šumem. Svou roli též hraje slabá singularita integrandu.

3) Numerické řešení v prostředí Matlabu

V prostředí Matlabu jsme odladili několik programů modelujících a numericky zpracovávajících interferogramy.

Program `test1D` testuje Takedovu metodu výpočtu fáze na předem definované intenzitě $g(z)$, překryté normálním nebo stejnoměrným šumem. Program nejdříve vyhledá data aproximačním splajnem (funkce `spap2` z toolboxu `Splines`). Podmínky periodičnosti jsou zajišťovány buď klasickým vynásobením intenzity hanning funkcí (viz obr.1) nebo přímo aproximačním splajnem s nulovými hodnotami na okrajích (tj. s multiplicitou krajních bodů rovnou jedné [6]). Na takto upravenou funkci je aplikována diskrétní Fourierova transformace (`fft`) s frekvencemi symetricky rozloženými kolem nuly (`fftshift`). Ze spektra $G(f)$ je poté interaktivně, pomocí myši, vyděleno pásmo $C(f - f_0)$. Prostorová frekvence f_0 lineární části fáze je určována interpolací jako poloha maxima funkce $|C|$. K interpolaci je využit kubický splajn, jak jej poskytuje standardní matlabovská funkce `spline`. Z fourierovského obrazu $C(f)$ je inverzní Fourierovou transformací (`ifft`) rekonstruována funkce $c(z)$, z níž je určena hledaná fáze φ_{gas} . Program je zakončen spojitým navazováním fáze v bodech, v nichž má skok 2π .

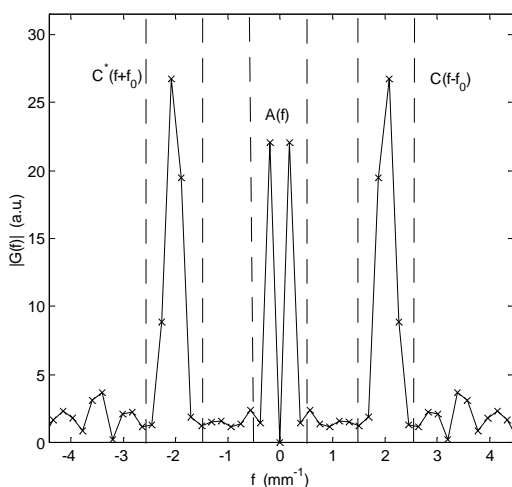
Průběh výpočtu zachycují obrázky 1 – 3. Na obr.1 je modelový profil intenzity,



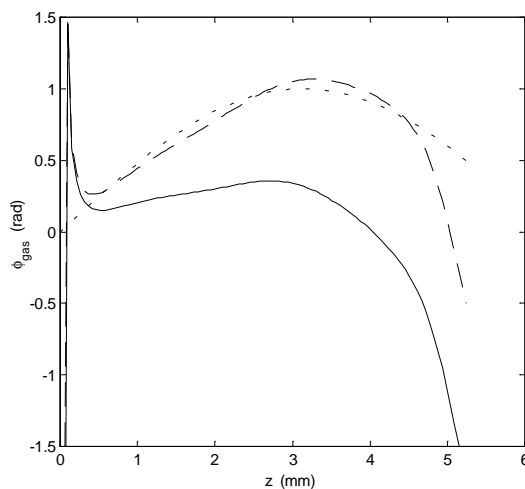
Obr.1 Testovaná intenzita, překrytá 10ti procentním normálním šumem; modelová data (...), data modifikovaná hanning funkcí a vyhlazená splajnem (—).

překryté desetiprocentním normálním šumem. Intenzita byla v tomto případě upravena hanning funkcí (8) (pro účely grafu vynásobené ještě faktorem $\frac{1}{2}$), a vyhlazená splajnem.

Míra vyhlazení je dána vzdáleností jeho uzlů. Spektrum s třemi charakteristickými pásy vidíme na obr.2, porovnání vypočtené a předdefinované fáze je na obr.3.



Obr.2. Charakteristické spektrum intenzity z obr.1 (hodnota pro nulovou frekvenci je potlačena); frekvence proužků $f_0 = 2 \text{ mm}^{-1}$.



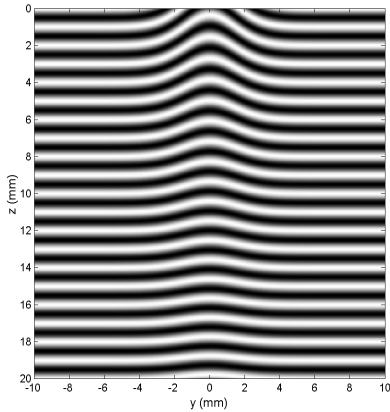
Obr.3 Porovnání vypočtené a exaktně zadané fáze v 1-dim. případě; výpočet s aproximovanou hodnotou $f_0 \approx 2,04 \text{ mm}^{-1}$ (—), výpočet s exaktní hodnotou $f_0 = 2 \text{ mm}^{-1}$ (---), exaktní řešení (...).

Jak je z posledního obrázku zřejmé, Takedova metoda vede k chybám především při okrajích lineárního segmentu. To je způsobeno jednak okrajovými efekty Fourierovy transformace, jednak citlivostí k chybě Δf v určení lineární frekvence f_0 . Tato frekvence byla v tomto případě získávána interpolací z diskrétní posloupnosti frekvencí f_k , ekvidistantně rozložených s krokem $1/L$. Pro poněkud pesimistický odhad chyby $\Delta f \approx 1/(5L)$ a pro $z \approx L$ vychází tato chyba řádově $\Delta\varphi_{\text{gas}} \approx 2\pi \Delta f z \approx 1$ v souladu s průběhem, vyznačeném plnou čarou. Čárkovaně je znázorněna fáze počítaná opět Takedovou metodou, tentokrát ale s přesnou hodnotou f_0 .

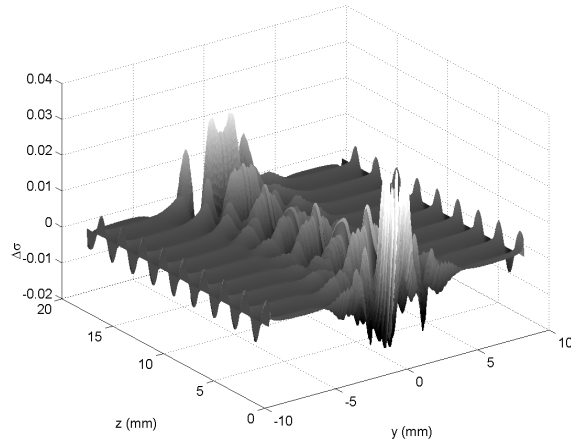
Programem `interfer` modelujeme interferogram pro předem dané rozložení hustoty nebo teploty a tlaku. Přesná hodnota funkce $\sigma(x, y, z) = \rho(x, y, z) / \rho_0$ a jí odpovídající fáze $\varphi_{\text{gas}}(x, y, z)$ jsou pro účely dalšího testování uloženy v položce 'UserData' modelového interferogramu (objekt typu `image`). V programu lze libovolně definovat relativní hustotu σ , frekvenci a směr proužků a rovněž funkce a, b intenzity (1). Ukázkou modelového interferogramu pro válcově symetrické rozdělení veličiny σ obecného tvaru

$$\sigma(x, y, z) = 1 + A(z) \cdot \exp[-B(z)r^2], \quad (16)$$

kde r je vzdálenost od osy z a $A(z), B(z)$ jsou polynomiální funkce, vidíme na obr.4.



Obr.4 Interferogram modelovaný pro předem definované rozložení hustoty.



Obr.5 Srovnání vypočteného a exaktního rozložení hustoty $\Delta\sigma = \sigma - \sigma_{\text{exact}}$ pro modelový interferogram z obr.4.

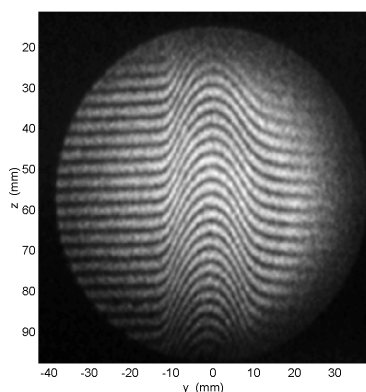
Poslední program `faze2D` rekonstruuje fázi a hustotu z dvoudimenzionálního interferogramu, ať již modelového či skutečného. Pokud program po ukončení výpočtu těchto veličin nalezne v poloze 'UserData' jejich exaktní hodnoty, provede ještě ve formě několika grafů porovnání vypočtených a zadaných hodnot.

Abychom se vyhnuli již zmiňované chybě v určení frekvence proužků, stanovujeme ji z okrajů obrazce, kde zpravidla proužky nejsou deformovány a fáze je lineární. Z interferogramu je nejdříve myší vybrán vhodný segment snedformovanými proužky. Metodou nejmenších čtverců je jemu odpovídající fáze φ aproximována lineární funkcí φ_{lin} a poté je zobrazen rozdíl $\varphi_{\text{gas}} \equiv \varphi - \varphi_{\text{lin}}$. Odpovídající hodnotu f_0 je možné (pro $\varphi_{\text{gas}} \approx 0$) buď akceptovat, nebo odmítnout. Tato procedura může být několikrát opakována, přičemž výsledná frekvence je určena jako aritmetický průměr akceptovaných hodnot. Určení prostorové frekvence f_0 tímto způsobem je o řád přesnější než by dala interpolace na maximum $|C(f - f_0)|$.

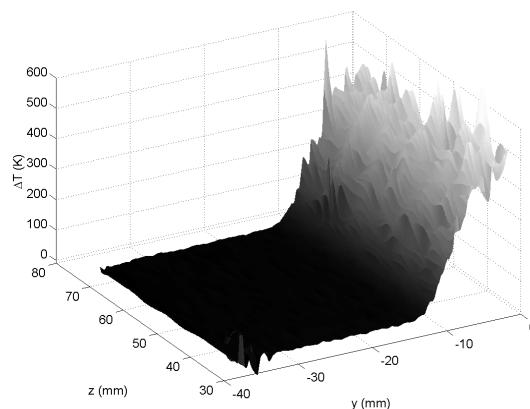
Abelova transformace (15) je numericky realizována pomocí dvou funkcí toolboxu Spline. Nejdříve je funkcí $\varphi_{\text{gas}}(y)$ metodou nejmenších čtverců proložen aproximující splajn $s(y)$ (`spap2`). V numerických testech jsme tentokrát dali přednost splajnu kvadratickému před splajnem kubickým – jeho první derivace je méně „rozkmítána“. Další výpočty jsou již exaktní. Nejdříve jsou funkcí `fnder` pro úseky $\langle y_i, y_{i+1} \rangle$ mezi uzly spočítány první derivace, jež jsou pro kvadratický splajn lineární: $s'(y) = k_i y + q_i$. Poté je vyjádřen integrál v (15):

$$\int_r^R \frac{\varphi'_{\text{gas}}(y)}{\sqrt{y^2 - r^2}} dy \approx \sum_i \int_{y_i}^{y_{i+1}} \frac{k_i y + q_i}{\sqrt{y^2 - r^2}} dy = \sum_i \left[k_i \sqrt{y^2 - r^2} + q_i \log(y + \sqrt{y^2 - r^2}) \right]_{y_i}^{y_{i+1}}.$$

Obr. 4,5 zachycují modelový případ s exaktně daným řešením. Chyba v určení hustoty je relativně nízká, malé „rozvlnění“ je způsobeno konečným počtem členů Fourierovy řady (Gibbsův efekt). Obr. 6 ukazuje reálný interferogram plamene svíčky. Za předpokladu konstantního tlaku souvisí změna teploty ΔT v plameni s veličinou σ vztahem $\Delta T = \left(\frac{1}{\sigma} - 1\right) \cdot T_0$. I přes vyšší šum umožňuje metoda hrubý odhad zvýšení teploty vose plamene cca 500 K, šířka plamene je asi 20 mm.



Obr.6 Reálný interferogram plamene svíčky.



Obr.7 Změna teplotního pole odpovídající interferogramu z obr.6. Souřadnice y , z souhlasí se souřadnicemi předchozího obrázku.

Závěr

V prostředí Matlabu byly odladěny programy, modelující a zpracovávající interferogramy nehomogenního plynného prostředí. Při tvorbě těchto programů byly uplatněny prostředky pro tvorbu interaktivní grafiky (ovládání myši, GUI). K výpočtu fáze byla úspěšně aplikována Takedova metoda, k výpočtu vnitřních poměrů v plynu pro případ válcové symetrie Abelova transformace. Zpracování modelových interferogramů s předem danými parametry umožňuje u reálných interferogramů analyzovat zdroje numerických chyb a odhadovat jejich velikost.

Práce byla podpořena výzkumným záměrem CEZ:J06/98:124100004.

Literatura

- [1] R. Řezníček: Vizualizace proudění, Academia, Praha, 1978.
- [2] F. Unterseher, J. Hansen, B. Schlesinger: Holography Handbook. Roos Books. Berkeley, California, 1992.
- [3] M. Liška, L. Kovář, O. Samek: Jemná mech. a opt., 1-2, 1994, s.9
- [4] M. Takeda, H. Ina, S. Kobayashi: J. Opt. Soc. Am. 72 (1982), 1, s.156
- [5] J. Hlína: in Acta Technica ČSAV, Praha, 1990, 4, s.422
- [6] C. de Boor: A Practical Guide to Splines, Appl. Math. Sc. 27, Springer Verlag, New York, 1978